



Großwetterlage

Mai 2017

erstellt durch die Vorhersage- und Beratungszentrale, Offenbach
Ausgabe: 25.06.2017

Zonale Zirkulation

	Nr.	GW zählt als	Jan.	Feb.	W	März	April	Mai	F	Juni	Juli	Aug.	S	Sept.	Okt.	Nov.	H	Dez.	Jahr
Wa	1	a	-	-		-	-	6		-	-	-		-	-	-		-	
Wz	2	z	-	13		7	-	-		-	-	-		-	-	-		-	
Ws	3	z	-	-		-	-	-		-	-	-		-	-	-		-	
Ww	4	z	-	-		-	-	-		-	-	-		-	-	-		-	
W (GT)			0	13	13	7	0	6	13	0	0	0	0	0	0	0	0	0	26
zonale Zirkulation			0	13	13	7	0	6	13	0	0	0	0	0	0	0	0	0	26

Gemischte Zirkulation

	Nr.	GW zählt als	Jan.	Feb.	W	März	April	Mai	F	Juni	Juli	Aug.	S	Sept.	Okt.	Nov.	H	Dez.	Jahr
SWa	5	H+a	-	-		-	-	-		-	-	-		-	-	-		-	
SWz	6	z	3	-		-	-	-		-	-	-		-	-	-		-	
SW (GT)			3	0	3	0	0	0	0	0	0	0	0	0	0	0	0	0	3
NWa	7	a	-	-		-	-	-		-	-	-		-	-	-		-	
NWz	8	z	3	-		-	7	-		-	-	-		-	-	-		-	
NW (GT)			3	0	3	0	7	0	7	0	0	0	0	0	0	0	0	0	10
HM	9	H+a	1	3		6	3	6		-	-	-		-	-	-		-	
BM	10	H+a	15	-		4	-	-		-	-	-		-	-	-		-	
HM (GT)			16	3	19	10	3	6	19	0	0	0	0	0	0	0	0	0	38
TM (GT)	11	T+z	-	-	0	-	-	-	0	-	-	-	0	-	-	-	0	-	0
gemischte Zirkulation			22	3	25	10	10	6	26	0	0	0	0	0	0	0	0	0	51

Meridiane Zirkulation

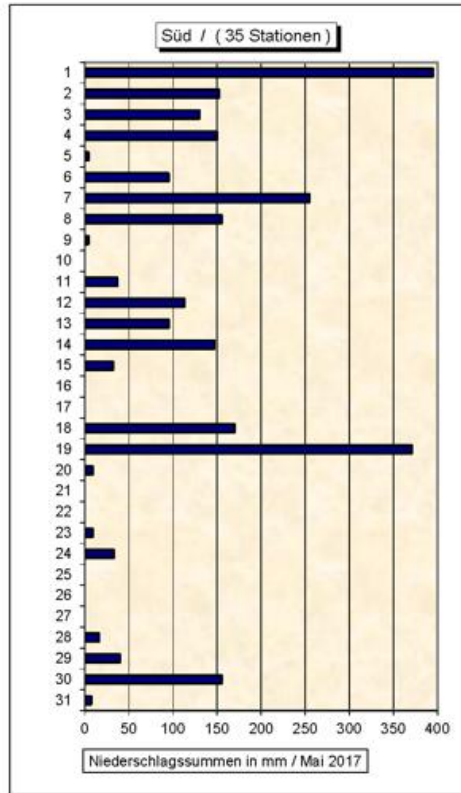
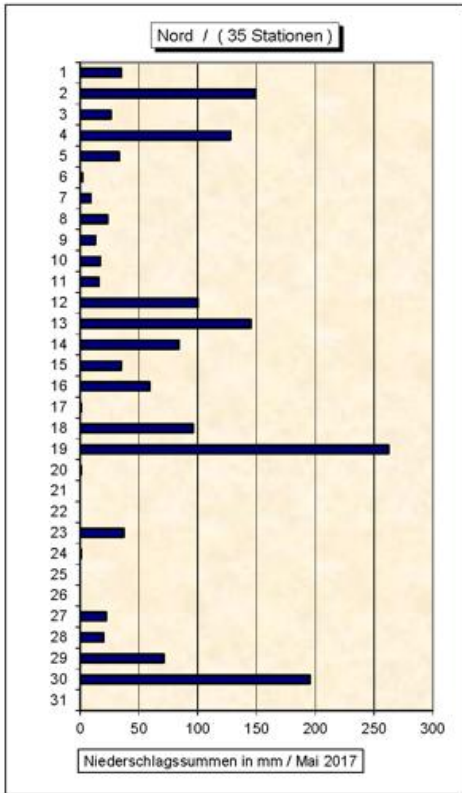
	Nr.	GW zählt als	Jan.	Feb.	W	März	April	Mai	F	Juni	Juli	Aug.	S	Sept.	Okt.	Nov.	H	Dez.	Jahr				
Na	12	a	-	-		-	-	-		-	-	-		-	-	-		-					
Nz	13	z	-	-		-	-	-		-	-	-		-	-	-		-		-	-	-	-
HNa	14	a	-	-		-	-	-		-	-	-		-	-	-		-		-	-	-	-
HNz	15	T+z	-	-		-	3	5		-	-	-		-	-	-		-		-	-	-	-
HB	16	a	-	-		3	7	3		-	-	-		-	-	-		-		-	-	-	-
TrM	17	T+z	6	-		4	3	-		-	-	-		-	-	-		-		-	-	-	-
N (GT)			6	0		6	7	13		8	28	0		0	0	0		0		0	0	0	0
NEa	18	H+a	-	-		-	-	-		-	-	-		-	-	-		-					
NEz	19	T+z	-	-		-	3	-		-	-	-		-	-	-		-		-	-	-	-
HFa	20	H+a	-	4		-	-	-		-	-	-		-	-	-		-		-	-	-	-
HFz	21	T+z	-	4		-	-	-		-	-	-		-	-	-		-		-	-	-	-
HNFa	22	H+a	-	-		-	-	-		-	-	-		-	-	-		-		-	-	-	-
HNFz	23	T+z	-	-		-	2	4		-	-	-		-	-	-		-		-	-	-	-
SEa	24	H+a	-	-		-	-	-		-	-	-		-	-	-		-		-	-	-	-
SEz	25	T+z	-	-		-	-	-		-	-	-		-	-	-		-		-	-	-	-
E (GT)			0	8	8	0	5	4	9	0	0	0	0	0	0	0	0	0	17				
Sa	26	H+a	3	-		-	-	-		-	-	-		-	-	-		-					
Sz	27	z	-	4		-	-	-		-	-	-		-	-	-		-		-	-	-	-
TB	28	z	-	-		-	-	-		-	-	-		-	-	-		-		-	-	-	-
TrW	29	z	-	-		7	2	7		-	-	-		-	-	-		-		-	-	-	-
S (GT)			3	4	7	7	2	7	16	0	0	0	0	0	0	0	0	0	23				
meridiane Zirkulation			9	12	21	14	20	19	53	0	0	0	0	0	0	0	0	0	74				

Summe

	Nr.	GW zählt als	Jan.	Feb.	W	März	April	Mai	F	Juni	Juli	Aug.	S	Sept.	Okt.	Nov.	H	Dez.	Jahr
Übergangs - lage (Tage)			-	-	0	-	-	-	0	-	-	-	0	-	-	-	0	-	0
Σ a			19	7	26	13	10	15	38	0	0	0	0	0	0	0	0	0	64
Σ z			12	21	33	18	20	16	54	0	0	0	0	0	0	0	0	0	87
Σ H			19	7	26	10	3	6	19	0	0	0	0	0	0	0	0	0	45
Σ T			6	4	10	4	11	9	24	0	0	0	0	0	0	0	0	0	34

GWL 2017	GWL nach Hess & Brezowsky	Kurzbeschreibung
Montag, den 01. Mai	HNfz	Über dem Nordatlantik steigt das Geopotential und der relativ kleine Trog wird nebst seinem Bodentief nach Osten abgedrängt. Während über Nordeuropa nun hohes Geopotential bzw. am Boden von Grönland und Island bis nach Nordrussland hoher Luftdruck herrschen, liegt über West- und Mitteleuropa ein Höhentief, das intensive frontogenetische Prozesse induziert.
Dienstag, den 02. Mai	HNfz	
Mittwoch, den 03. Mai	HNfz	
Donnerstag, den 04. Mai	HNfz	
Freitag, den 05. Mai	HNz	Während der mächtige Geopotentialrücken über dem nördlichen Nordatlantik retrograd wird und seinen Schwerpunkt in Richtung Grönland zurückzieht, gelangt an seiner Ostflanke maritime Polarluft über Skandinavien hinweg südwärts. Im Bodendruckfeld dominiert zunächst eine östliche Strömung, bevor sich nach einer gradientschwachen Übergangsphase die Nordkomponente im Stromfeld durchsetzt. Mitteleuropa wird von Frontensystemen überquert.
Samstag, den 06. Mai	HNz	
Sonntag, den 07. Mai	HNz	
Montag, den 08. Mai	HNz	
Dienstag, den 09. Mai	HNz	Ein über dem Azorenbecken liegendes Höhentief wird von einem östlich von Grönland nach Süden ausgreifenden Trog involviert, der dann ostwärts schwenkt. Am Boden herrscht tiefer Luftdruck zwischen Island und dem Maghreb, Mitteleuropa wird durch Frontenzüge gestört.
Mittwoch, den 10. Mai	TrW	
Donnerstag, den 11. Mai	TrW	
Freitag, den 12. Mai	TrW	Nachdem das Geopotential über Westeuropa steigt und der dort liegende Trog sich nordwärts zurückzieht, stellt sich in der mittleren und höheren Troposphäre eine schwach mäandrierende West-Ost-Strömung ein. Mitteleuropa wird von Fronten sowie konvektiven Strukturen gestört.
Samstag, den 13. Mai	Wa	
Sonntag, den 14. Mai	Wa	
Montag, den 15. Mai	Wa	Der langwellige Trog südöstlich von Grönland wird durch Polarluftzufuhr verstärkt, erweitert seine Amplitude äquatorwärts und schwenkt nach Westeuropa, wo seine Achse schließlich quasi meridional orientiert ist. Im Bodenniveau über Mitteleuropa hält sich zunächst noch eine kräftige Antizyklone, bevor von Westen her teils gewittrige Störungen und Fronten übergreifen.
Dienstag, den 16. Mai	TrW	
Mittwoch, den 17. Mai	TrW	
Donnerstag, den 18. Mai	TrW	
Freitag, den 19. Mai	TrW	Der westeuropäische Trog wird über dem Nordmeer von der Frontalzone getrennt und da das Geopotential auch über Südwesteuropa steigt, dreht das nun dipolartige Residuum nordwärts ab und wird über dem Nordatlantik retrograd. Über Zentraleuropa entsteht eine Hochdruckzelle.
Samstag, den 20. Mai	HM	
Sonntag, den 21. Mai	HM	
Montag, den 22. Mai	HM	Polwärts gerichtete Warmluftadvektion in der mittleren und höheren Troposphäre über dem Nordatlantik und Westeuropa formt einen mächtigen Geopotentialrücken. Im Bodendruckfeld entsteht ein ausgedehntes Hochdruckgebiet mit Schwerpunkt über den Britischen Inseln.
Dienstag, den 23. Mai	HB	
Mittwoch, den 24. Mai	HB	
Donnerstag, den 25. Mai	HB	Mit der Ostverlagerung des westeuropäischen Geopotentialrückens zieht auch in Bodennähe das korrespondierende Hochdruckgebiet nach Mitteleuropa, welches zunächst weitgehend ungestört bleibt, bevor dann am Ende eine gewittrige Störung auf den Nordwesten übergreift.
Freitag, den 26. Mai	HM	
Samstag, den 27. Mai	HM	
Sonntag, den 28. Mai	HM	Allmählich verliert der Geopotentialrücken über Mitteleuropa an Kontur und die atmosphärische Höhenströmung verläuft straff von Westsüdwest nach Ostnordost. Trotz des antizyklonalen Charakters der Entwicklung wird Zentraleuropa von teils gewittrigen Störungen beeinflusst.
Montag, den 29. Mai	Wa	
Dienstag, den 30. Mai	Wa	
Mittwoch, den 31. Mai	Wa	

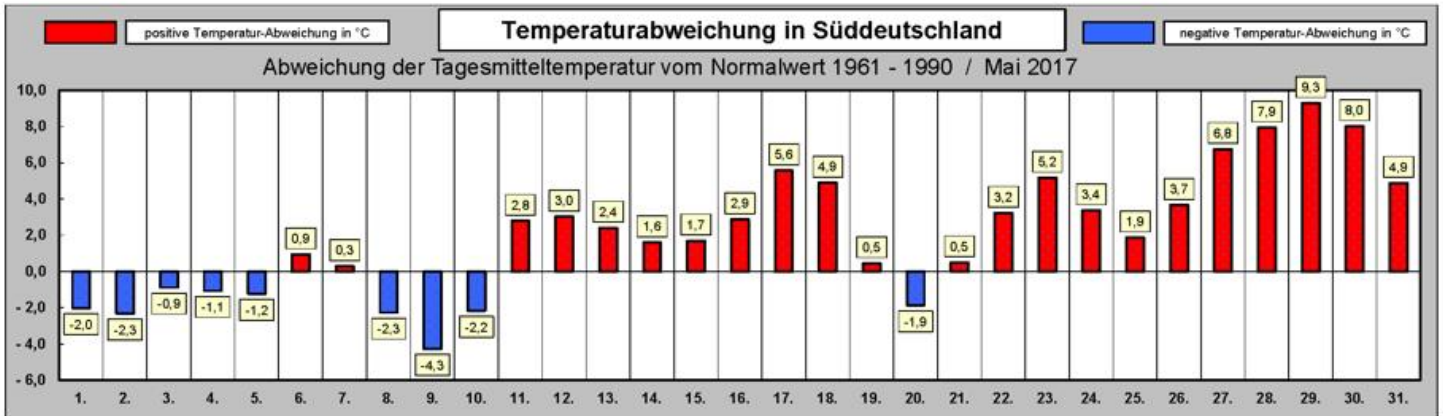
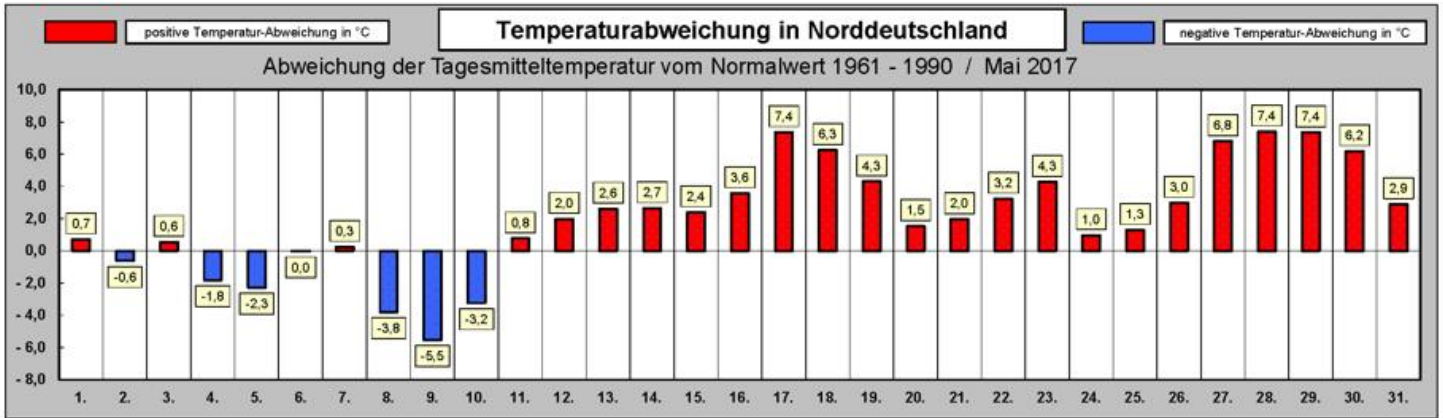
Legende zur Großwetterlagen-Tabelle			
Nummer	Abkürzung	Großwetterlage	Farbe
1	Wa	Westlage, Mitteleuropa überwiegend antizyklonal	Hellgrün
2	Wz	Westlage, Mitteleuropa überwiegend zyklonal	Grelles Grün
3	WS	Südliche Westlage	Meeresgrün
4	WW	Winkelförmige Westlage	Grün
5	SWa	Südwestlage, Mitteleuropa überwiegend antizyklonal	Hellorange
6	SWz	Südwestlage, Mitteleuropa überwiegend zyklonal	Orange
7	NWa	Nordwestlage, Mitteleuropa überwiegend antizyklonal	Türkis
8	NWz	Nordwestlage, Mitteleuropa überwiegend zyklonal	Blaugrün
9	HM	Hoch Mitteleuropa	Weiß
10	BM	Hochdruckbrücke Mitteleuropa	Hellgrau 25%
11	TM	Tief Mitteleuropa	Grau 50%
12	Na	Nordlage, Mitteleuropa überwiegend antizyklonal	Blassblau
13	Nz	Nordlage, Mitteleuropa überwiegend zyklonal	Blau
14	HNa	Hoch Nordmeer-Inland, Mitteleuropa überwiegend antizyklonal	Himmelblau
15	HNz	Hoch Nordmeer-Inland, Mitteleuropa überwiegend zyklonal	Blaugrau
16	HB	Hoch Britische Inseln	Helltürkis
17	TrM	Trog Mitteleuropa	Dunkelgrau 80%
18	NEa	Nordostlage, Mitteleuropa überwiegend antizyklonal	Lavendel
19	NEz	Nordostlage, Mitteleuropa überwiegend zyklonal	Pflaume
20	HFa	Hoch Fennoskandien, Mitteleuropa überwiegend antizyklonal	Hellrosa
21	HFz	Hoch Fennoskandien, Mitteleuropa überwiegend zyklonal	Rosa
22	HNFa	Hoch Nordmeer-Fennoskandien, Mitteleuropa überwiegend antizyklonal	Hellgelb
23	HNFz	Hoch Nordmeer-Fennoskandien, Mitteleuropa überwiegend zyklonal	Dunkelgelb
24	SEa	Südostlage, Mitteleuropa überwiegend antizyklonal	Gelb
25	SEz	Südostlage, Mitteleuropa überwiegend zyklonal	Gold
26	Sa	Südlage, Mitteleuropa überwiegend antizyklonal	Gelbbraun
27	Sz	Südlage, Mitteleuropa überwiegend zyklonal	Rot
28	TB	Tief Britische Inseln	Braun
29	TrW	Trog Westeuropa	Dunkelrot
30	Ü	Übergangslage / Unbestimmt	Grau 40%



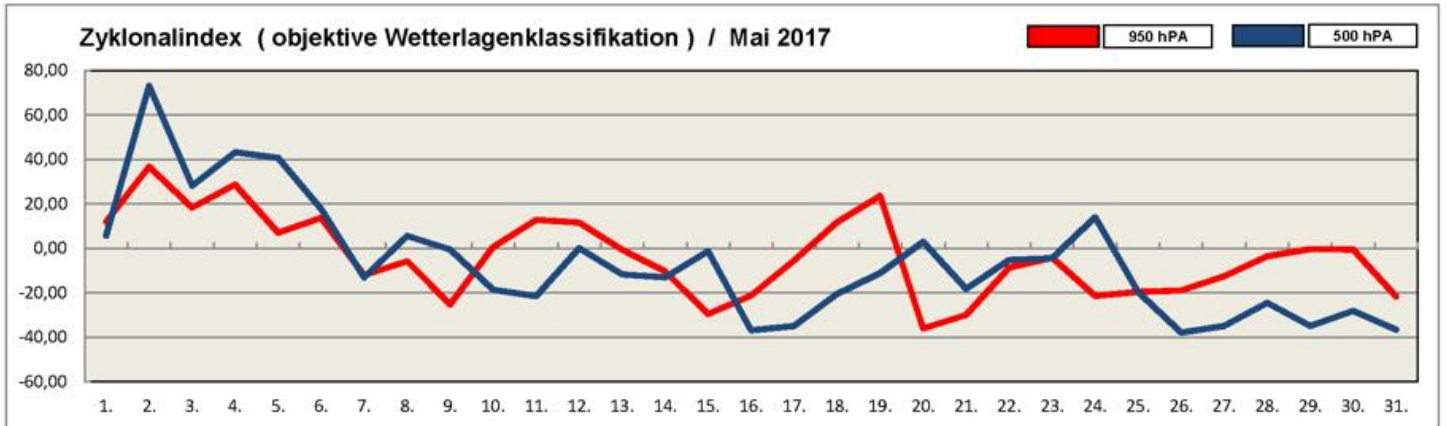
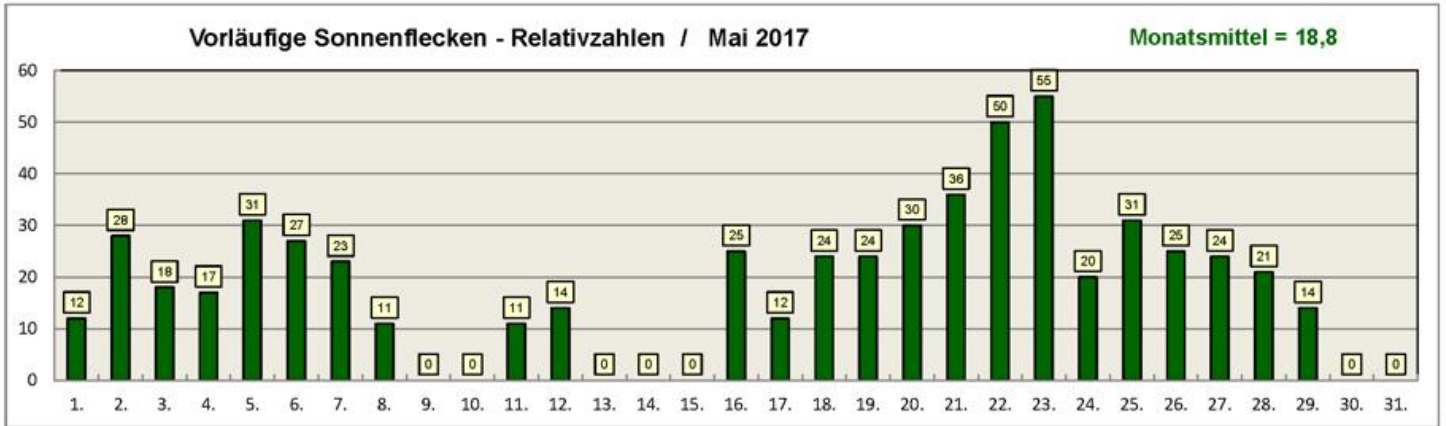
Tag	Nord	Süd
1.	12	35
2.	33	32
3.	16	27
4.	29	30
5.	15	4
6.	2	20
7.	11	32
8.	23	32
9.	16	4
10.	12	1
11.	16	27
12.	28	29
13.	31	31
14.	28	30
15.	12	10
16.	16	0
17.	1	0
18.	24	19
19.	26	33
20.	2	4
21.	0	0
22.	0	0
23.	15	6
24.	3	17
25.	0	0
26.	0	0
27.	5	0
28.	14	3
29.	14	9
30.	27	27
31.	0	2

Anzahl der Stationen mit Niederschlag

Temperaturabweichung in Deutschland



Witterungsverlauf : Sonnenflecken und Zyklonalindex



Stationen	Temperatur	Abweichung	Niederschlag	Abweichung	Sonnenschein	Abweichung	Luftdruck	Abweichung
10035 Schleswig	13,2 °C	+ 2,2 °C	51,4 mm	83,7 %	243,0 Stunden	107,6 %	1017,8 hPA	+ 2,5 hPA
10113 Norderney	13,1 °C	+ 1,9 °C	22,6 mm	46,4 %	211,2 Stunden	93,3 %	1017,6 hPA	+ 2,7 hPA
10147 Hamburg	13,9 °C	+ 1,7 °C	82,1 mm	143,3 %	210,9 Stunden	97,3 %	1017,6 hPA	+ 2,4 hPA
10170 Rostock	13,1 °C	+ 1,8 °C	38,9 mm	83,7 %	265,5 Stunden	108,2 %	1017,8 hPA	+ 2,5 hPA
10338 Hannover	14,8 °C	+ 2,2 °C	31,6 mm	50,6 %	206,4 Stunden	100,0 %	1017,3 hPA	+ 2,0 hPA
10379 Potsdam	15,2 °C	+ 2,0 °C	17,3 mm	28,5 %	232,9 Stunden	102,6 %	1017,2 hPA	+ 1,6 hPA
10410 Essen	15,4 °C	+ 2,5 °C	43,7 mm	59,5 %	220,7 Stunden	114,6 %	1017,0 hPA	+ 2,0 hPA
10438 Kassel	13,8 °C	+ 1,2 °C	78,0 mm	110,3 %	211,4 Stunden	108,9 %	1017,2 hPA	+ 2,3 hPA
10453 Brocken	8,4 °C	+ 2,7 °C	97,6 mm	83,1 %	175,9 Stunden	102,0 %	1017,3 hPA	+ 2,1 hPA
10469 Leipzig	15,0 °C	+ 1,7 °C	39,8 mm	75,4 %	222,2 Stunden	111,9 %	1016,9 hPA	+ 1,7 hPA
10496 Cottbus	15,0 °C	+ 1,5 °C	23,4 mm	40,6 %	217,3 Stunden	96,8 %	1016,9 hPA	+ 1,9 hPA
10567 Gera	14,2 °C	+ 2,4 °C	50,6 mm	92,8 %	232,6 Stunden	116,1 %	1017,0 hPA	+ 1,6 hPA
10609 Trier	15,6 °C	+ 3,0 °C	50,7 mm	74,7 %	246,0 Stunden	120,9 %	1017,0 hPA	+ 2,4 hPA
10637 Frankfurt (Main)	15,9 °C	+ 2,2 °C	85,0 mm	138,7 %	217,7 Stunden	105,4 %	1016,9 hPA	+ 2,3 hPA
10739 Stuttgart	15,5 °C	+ 2,2 °C	68,1 mm	81,5 %	234,3 Stunden	118,5 %	1016,9 hPA	+ 2,0 hPA
10763 Nürnberg	14,9 °C	+ 1,7 °C	78,3 mm	121,8 %	251,2 Stunden	117,4 %	1017,0 hPA	+ 2,3 hPA
10803 Freiburg	15,8 °C	+ 2,6 °C	92,7 mm	101,5 %	246,9 Stunden	124,8 %	1017,0 hPA	+ 2,7 hPA
10870 München	14,0 °C	+ 1,8 °C	64,7 mm	73,8 %	269,9 Stunden	132,8 %	1016,9 hPA	+ 2,1 hPA
10895 Passau	14,7 °C	+ 2,7 °C	83,4 mm	100,8 %	284,2 Stunden	138,0 %	1016,5 hPA	+ 2,1 hPA
10961 Zugspitze	-1,3 °C	+ 1,8 °C	156,3 mm	90,9 %	197,9 Stunden	120,0 %	1016,9 hPA	+ 2,1 hPA

* Bei allen Abweichungswerten wird der aktuelle Monatsmittelwert dem 30-jährigen Mittelwert (climat-Wert) aus dem Zeitraum 1961 bis 1990 gegenüber gestellt !

Stationen	Temperatur	Abweichung	Niederschlag	Abweichung	Sonnenschein	Abweichung	Luftdruck	Abweichung	
01026	Tromsø	3,2 °C	- 1,7 °C	70,0 mm	145,8 %	173,0 Stunden	79,4 %	1018,2 hPA	+ 2,9 hPA
02935	Jvaskylá	7,0 °C	- 1,7 °C	15,0 mm	37,5 %	240,0 Stunden	96,0 %	1016,3 hPA	+ 1,2 hPA
03005	Lerwick	9,2 °C	+ 1,6 °C	36,0 mm	58,1 %	158,0 Stunden	107,5 %	1017,0 hPA	+ 3,2 hPA
03091	Aberdeen	11,3 °C	+ 2,3 °C	24,0 mm	40,7 %	181,0 Stunden	102,8 %	1016,5 hPA	+ 2,6 hPA
03772	London	15,1 °C	+ 2,6 °C	65,0 mm	127,5 %	165,0 Stunden	85,1 %	1016,7 hPA	+ 1,5 hPA
04030	Reykjavik	8,6 °C	+ 2,3 °C	84,0 mm	191,8 %	168,0 Stunden	87,5 %	1012,7 hPA	+ 0,3 hPA
06260	De Bilt	15,0 °C	+ 2,7 °C	36,0 mm	58,8 %	226,0 Stunden	114,7 %	1017,0 hPA	+ 2,2 hPA
06447	Brüssel	15,5 °C	+ 2,6 °C	45,0 mm	63,4 %	206,0 Stunden	108,7 %	1016,4 hPA	+ 1,6 hPA
06590	Luxemburg	15,3 °C	+ 3,5 °C	38,0 mm	46,9 %	269,0 Stunden	130,3 %	1016,9 hPA	+ 2,1 hPA
06700	Genf	15,0 °C	+ 2,0 °C	81,0 mm	105,2 %	242,0 Stunden	133,7 %	1017,4 hPA	+ 2,5 hPA
06770	Lugano	17,1 °C	+ 2,6 °C	120,0 mm	61,9 %	245,0 Stunden	135,4 %	1016,2 hPA	+ 1,7 hPA
07149	Paris	16,2 °C	+ 2,7 °C	50,0 mm	86,2 %	232,0 Stunden	115,4 %	1016,7 hPA	+ 1,9 hPA
07222	Nantes	16,2 °C	+ 2,6 °C	75,0 mm	117,2 %	240,0 Stunden	113,7 %	1016,1 hPA	+ 1,1 hPA
07690	Nizza	18,4 °C	+ 2,0 °C	19,0 mm	38,8 %	321,0 Stunden	118,9 %	1016,1 hPA	+ 1,7 hPA
08221	Madrid	19,1 °C	+ 3,6 °C	22,0 mm	56,4 %	293,0 Stunden	108,5 %	1013,8 hPA	- 1,8 hPA
08509	Azoren (Lajes)	16,9 °C	+ 0,8 °C	128,0 mm	297,7 %	193,0 Stunden	98,0 %	1012,9 hPA	- 10,4 hPA
08535	Lissabon	19,7 °C	+ 2,3 °C	60,0 mm	153,8 %	283,0 Stunden	97,3 %	1014,6 hPA	- 2,8 hPA
11035	Wien	16,6 °C	+ 2,0 °C	44,0 mm	72,1 %	264,0 Stunden	114,8 %	1016,0 hPA	+ 1,5 hPA
11150	Salzburg	14,9 °C	+ 1,7 °C	181,0 mm	144,8 %	256,0 Stunden	132,6 %	1016,3 hPA	+ 1,0 hPA
11518	Prag	14,2 °C	+ 1,5 °C	33,0 mm	42,9 %	265,0 Stunden	115,2 %	1016,8 hPA	+ 1,9 hPA
12205	Stettin	14,0 °C	+ 1,2 °C	91,0 mm	178,4 %	240,0 Stunden	109,6 %	1017,6 hPA	+ 2,5 hPA
12375	Warschau	14,6 °C	+ 1,2 °C	49,0 mm	83,1 %	229,0 Stunden	77,9 %	1016,8 hPA	+ 1,3 hPA
12843	Budapest	17,2 °C	+ 1,2 °C	72,0 mm	130,9 %	321,0 Stunden	139,0 %	1015,8 hPA	+ 1,9 hPA
13274	Belgrad	18,2 °C	+ 1,0 °C	86,0 mm	121,1 %	256,0 Stunden	113,3 %	1015,2 hPA	+ 0,8 hPA
15420	Bukarest	16,2 °C	- 0,5 °C	77,0 mm	110,0 %	207,0 Stunden	84,0 %	1015,1 hPA	+ 1,0 hPA
15614	Sofia	15,1 °C	+ 0,8 °C	49,0 mm	67,1 %	225,0 Stunden	111,4 %	1014,9 hPA	+ 0,0 hPA
16597	Malta (Luqa)	20,8 °C	+ 1,7 °C	2,0 mm	28,6 %	321,0 Stunden	107,0 %	1016,6 hPA	+ 1,3 hPA
16714	Athen	21,4 °C	+ 1,3 °C	50,0 mm	277,8 %	260,0 Stunden	89,7 %	1013,2 hPA	- 0,2 hPA
17116	Bursa	18,0 °C	+ 0,7 °C	87,0 mm	189,1 %	180,0 Stunden	70,6 %	1013,1 hPA	- 1,1 hPA
22550	Archangelsk	3,0 °C	- 3,5 °C	15,0 mm	37,5 %	211,0 Stunden	80,2 %	1013,9 hPA	- 2,0 hPA
27595	Kasan	11,0 °C	- 2,3 °C	32,0 mm	86,5 %	248,0 Stunden	87,9 %	1013,4 hPA	- 2,4 hPA
34300	Charkow	14,6 °C	- 1,0 °C	37,0 mm	78,7 %	303,0 Stunden	127,3 %	1014,4 hPA	- 0,5 hPA